

УДК 548.4 : 621.315.592

© 1991

## АНОМАЛЬНОЕ ПОВЕДЕНИЕ ВИНТОВЫХ ДИСЛОКАЦИЙ В ЗАКАЛЕННЫХ МОНОКРИСТАЛЛАХ АНТИМОНИДА ИНДИЯ

*B. I. Алексеенко, B. M. Мостовой*

Экспериментально обнаружены аномалии подвижности винтовых дислокаций в закаленных после отжига монокристаллах антимонида индия. В связи со спецификой термообработки повышенное внимание удалено методике эксперимента. Показано, что наблюдаемые особенности на зависимостях средних скоростей движения дислокаций от напряжения и температуры можно объяснить с помощью модели термоактивированного преодоления перегибами стопоров на дислокационной линии. Из предположения о природе стопоров для движения перегибов (комплекс точечных дефектов: атом теллура—вакансия индия) на основании указанной модели сделаны оценки величины энергетического барьера стопора, преодолеваемого перегибом.

Известно, что полупроводниковые монокристаллы являются объектами, в которых, как традиционно считается, движение дислокаций определяется пайерлсовским механизмом. Тем не менее существуют многочисленные экспериментальные факты, свидетельствующие о влиянии подсистемы точечных дефектов на подвижность дислокаций в этих материалах, например существование стартовых напряжений в германии и кремнии, изменение энергии активации движения дислокаций и возможность изменять эти величины, варьируя концентрацию примеси [1–3]. Эффект влияния степени легирования на скорость одиночных дислокаций был обнаружен в одном из первых исследований подвижности дислокаций в антимониде индия [4].

Очевидно, что не только легирование, но и различные способы термообработки могут служить эффективным инструментом воздействия на физико-механические свойства материалов. Влияние отжига на подвижность дислокаций изучалось в [5], где показано, что высокотемпературный отжиг кристаллов InSb с винтовыми дислокациями при  $T=523$  К приводит к появлению нелинейных зависимостей пробегов дислокаций от времени, т. е. к возникновению кинетики подвижности дислокаций. Кроме того, оказалось, что более жесткая термообработка (отжиг при  $T=573$  К) приводит к появлению достаточно высоких стартовых напряжений  $\sigma_0$  для движения винтовых дислокаций, хотя в неотожженных образцах их величина была по крайней мере на порядок меньше. Вопрос об энергии активации движения дислокаций в образцах, подвергнутых термообработке, насколько нам известно, на сегодняшний день остается неизученным. Целью настоящей работы является экспериментальное исследование влияния предварительной закалки образца на процессы зарождения и движения одиночных дислокаций в антимониде индия.

### 1. Эксперимент

1. Образцы для исследований представляли собой прямоугольные параллелепипеды с ориентацией ребер [110], [112], [111] и размерами  $22 \times 2 \times 0.9$  мм соответственно, вырезанные электроэррозионным способом из бездислокационного антимонида индия, легированного теллуром до

концентрации  $2 \cdot 10^{17}$  см<sup>-3</sup>. После механической обработки и химической полировки в полирователе СР-4А образцы отжигались при температуре 623 К в течение 1 ч на воздухе, после чего со скоростью  $\sim 500$  К/с закаливались приведением в контакт с охлажденной до 0 °С массивной медной пластиной.<sup>1</sup> После этого в образец вводились одиночные дислокации. Для этого грань образца (112) скрайбировалась вдоль направления [110], а затем кристалл деформировался изгибом вокруг оси [111]<sup>[6(§2)]</sup>. Как показано в [6(§4)], в результате такого способа нагружения в течение 20—25 мин при  $\sigma = 5$  МПа и  $T = 423$  К в кристалле возникает дислокационная структура, состоящая из полуярель с векторами Бюргерса, лежащими в направлениях [011] для плоскости (111) и [101] для (111).

Места выхода винтовых сегментов, входящих в эти полуярель, на ра-

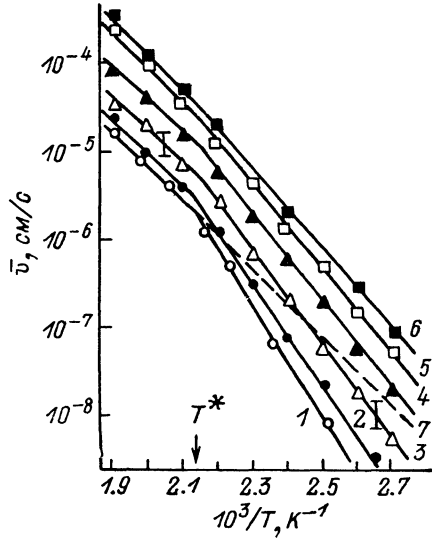


Рис. 1. Зависимости средних скоростей движения дислокаций от температуры для закаленных монокристаллов антимонида индия.

Внешние механические напряжения  $\sigma$  (МПа): 1 —  $\sigma = 6.5$ , 2 — 10, 3 — 18, 4 — 2.6, 5 — 35, 6 — 40; 7 — незакаленный образец,  $\sigma = 6.5$  МПа.

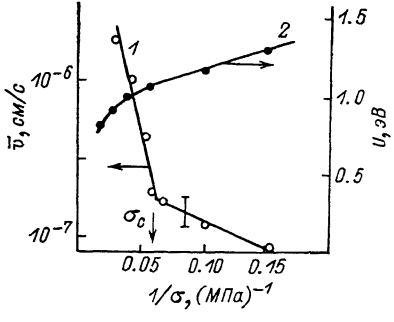


Рис. 2. Зависимость средней скорости (1) и энергии активации (2) движения винтовых дислокаций в предварительно закаленном образце от обратного напряжения при  $T = 423$  К.

бочную грань образца (111) после селективного химического травления представляли собой «двойную цепочку» ямок травления, расположенную вдоль направления [110]. Дальнейшие нагрузжения образцов для изучения подвижности этих дислокаций осуществлялись по схеме четырехпорного изгиба вокруг оси [112], причем рабочая поверхность образца (111) подвергалась сжатию.

2. Отметим, что все дальнейшие результаты получены не только для винтовых сегментов полуярель, индуцированных описанным способом, но и для винтовых сегментов полуярель, полученных при изгибе образцов от внутренних дислокационных источников. Изучалась подвижность обоих концов полуярель, т. е. «левовинтовых» (двигающихся от грани (112)) и «правовинтовых» сегментов. Поскольку результаты измерений отличаются лишь количественно, в дальнейшем будут для определенности приведены данные по левовинтовым дислокациям.

3. Для того чтобы убедиться в том, что в измерения подвижности дислокаций не дают вклада кинетические эффекты, проводились контрольные измерения средних пробегов дислокаций от времени нагружения при фиксированных температуре и напряжении. Наблюдался линейный характер зависимости  $l(t)$ .

<sup>1</sup> Необходимо отметить, что, поскольку результаты количественно зависели от скорости закалки, этот параметр на опыте строго выдерживался.

## 2. Результаты экспериментов

На опыте изучались зависимости средней скорости винтовых дислокаций в закаленном антимониде индия от температуры. Подобные измерения незакаленных образцов антимонида индия [4] показали, что зависимости представляют собой прямые линии в широком интервале температур, что свидетельствовало о независимости энергии активации движения дислокаций от температуры (рис. 1, кривая 7). Как видно из рис. 1, результаты для закаленных образцов принципиально отличаются тем, что на зависимостях  $v(1/T)$  наблюдается резкий излом при  $T=468$  К. Это говорит об изменении энергии активации движения винтовых дислокаций. Положение точки излома слабо зависит от приложенного внешнего напряжения. Видно, что при  $T > 468$  К прямые зависимостей скоростей от температуры в пределах ошибки эксперимента параллельны друг другу, а их наклон совпадает с соответствующим наклоном для винтовых дислокаций в незакаленных образцах  $U=0.89 \pm 0.05$  эВ [4, 6 (§ 3)]. При температурах  $T < 468$  К наблюдается сильная зависимость наклона  $v(1/T)$  от внешних напряжений; с их ростом энергия активации движения дислокаций падает. При увеличении напряжений от 6.5 до 40 МПа она изменяется от 1.3 до 0.91 эВ соответственно, практически достигая значения для винтовых дислокаций в незакаленном образце. Результаты измерений зависимости средних скоростей от напряжения, перестроенные в координатах  $\lg v(1/\sigma)$  (рис. 2), представляются двумя линейными участками, сопряженными в точке с  $\sigma \approx 15$  МПа.

### 3. Обсуждение результатов

1. Наличие линейного участка на зависимости  $\lg v(1/\sigma)$  при  $\sigma < 15$  МПа, существование аномалии на зависимости  $\lg v(1/T)$  и резкое увеличение энергии активации движения дислокации при  $\sigma < 15$  МПа позволяют интерпретировать эти эксперименты в рамках модели термоактивированного преодоления перегибами на дислокационной линии точечных дефектов как стопоров для их движения [7]. Будем считать, что обнаруженное в эксперименте характерное значение  $\sigma \approx 15$  МПа соответствует критической величине напряжения  $\sigma_c = E/abl$ , содержащейся в теории [7] (здесь  $E$  — энергия преодоления стопора перегибом,  $a$  — параметр решетки,  $b$  — вектор Бюргерса,  $l$  — среднее расстояние между стопорами). При напряжениях  $\sigma > \sigma_c$  перегибы безактивационно преодолеваются связанные со стопорами барьеры, а при  $\sigma < \sigma_c$  преодоление стопора уже требует термической активации и зависимость скорости дислокации от напряжения в этой области отлична от  $v(\sigma)$  при  $\sigma > \sigma_c$ , где точечные дефекты не оказывают определяющего влияния на движение перегибов. Расчет скорости дислокации в рамках используемой модели [7] дает для области малых напряжений ( $\sigma_c \geq \sigma \geq 3\sigma_{ct}$ , где  $\sigma_{ct} < 1$  МПа) выражение

$$v = v_0 \left( 1 + \frac{E}{\sigma abl} + \frac{l_c}{l} \right)^{1/2} \exp \left( - \frac{U_{pp} + U_m + E}{2kT} - \frac{E}{2\sigma abl} - \frac{l_c}{2l} \right), \quad (1)$$

где  $E$  — энергия преодоления перегибом стопора;  $l_c$  — критическая длина парного перегиба;  $U_{pp}$  — энергия зарождения парного перегиба;  $U_m$  — энергия миграции кинка;  $v_0$  — коэффициент, связанный с частотным фактором. Сравнивая экспериментальную зависимость  $\lg v(1/\sigma)$  при  $\sigma < 15$  МПа с приведенным выражением для скорости, определим величину отношения  $E/l$  (здесь использованы известные из литературы значения параметров для антимонида индия):  $E/l \approx 4 \cdot 10^{-12}$  Дж/м.

Из зависимости энергии активации движения дислокаций от напряжения (рис. 3) была проведена оценка активационного объема  $\gamma = \partial U / \partial \sigma$ . Она показала следующее: при  $\sigma > 15$  МПа активационный объем  $\gamma \approx (5 \div 10) b^3$ , что свидетельствует об пайерлсовском механизме движения

дислокаций, а при  $\sigma < 15 \text{ MPa}$ , где  $\gamma \approx 180 b^3$ , очевидно, реализуется механизм термоактивируемого преодоления точечных дефектов перегибами.

2. Обсудим далее вопрос о природе стопоров для движения перегибов в закаленных кристаллах антимонида индия. Как известно, в полупроводниковых соединениях  $A^3B^5$  вследствие отклонения состава от стехиометрии всегда содержится достаточно высокая концентрация точечных дефектов. Согласно [8], эта величина достигает  $10^{19} \text{ см}^{-3}$ . В [9] методом внутреннего трения определены тип, состояние и концентрация указанных нестехиометрических дефектов, показано, что они представляют собой бивакансационные комплексы  $V_{\text{In}} - V_{\text{In}}$ , концентрация которых при температурах порядка комнатных достигает  $\sim 10^{19} \text{ см}^{-3}$ , а с повышением температуры уменьшается. На основании вышесказанного можно сделать предположение, что при высокотемпературном отжиге, предшествующем закалке монокристаллов антимонида индия, в указанном ранее режиме бивакансационные комплексы, распадаясь, связываются с атомами теллура,

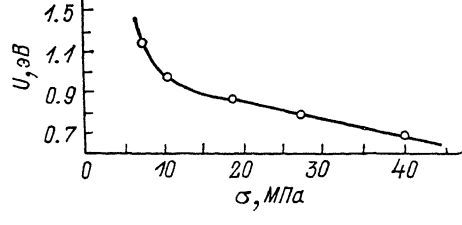


Рис. 3. Зависимость энергии активации движения винтовых дислокаций в закаленном антимониде индия от внешнего механического напряжения.

образуя комплексы типа  $\text{Te} - V_{\text{In}}$  (или более сложные). Эти комплексы и представляют собой мощные стопоры для движения перегибов. Таким образом, концентрация стопоров по порядку величины равна концентрации легирующей примеси. Поскольку в исследованном нами антимониде индия концентрация теллура  $2 \cdot 10^{17} \text{ см}^{-3}$ , то, считая, что расстояние между атомами теллура, а значит, и образовавшимся при высокотемпературном отжиге комплексами порядка  $l \sim 10^{-6} \text{ см}$ , оценим величину потенциального барьера стопора из определенного выше значения  $E/l$ . В этом случае комплекс имеет барьер для движения перегибов  $E \approx 0.25 \text{ эВ}$ . Необходимо отметить, что при описании экспериментальных результатов с помощью выражения (1) не учитывалось влияние точечных дефектов на кристаллический рельеф, так как в рамках приведенной качественной модели строго выполняется условие  $l_c < l$ , где  $l_c \sim 5 \text{ \AA}$ , т. е. основное количество парных перегибов зарождается на линии дислокации между точечными дефектами, а не вблизи самих стопоров.

3. Что касается поведения зависимости  $v(1/T)$  в области высоких температур при  $T > T^*$ , то наличие резкого излома при  $T^* \approx 468 \text{ K}$  на этой кривой и слабая зависимость этой температуры от внешнего напряжения  $T^*(\sigma)$  (рис. 1) свидетельствуют о том, что, по-видимому, физическая причина этого эффекта состоит в изменении состояния как комплексов точечных дефектов — стопоров для движения перегибов, — так и самого дислокационного ядра [10].

### Список литературы

- [1] Никитенко В. И. // Динамика дислокаций. Киев: Наукова думка, 1975. С. 7—26.
- [2] Бондаренко И. Е., Ерофеев В. Н., Никитенко В. И. // ЖЭТФ. 1973. Т. 64. С. 2196—2201.
- [3] Ерофеев В. Н., Никитенко В. И. // ФТТ. 1971. Т. 13. № 1. С. 146—150.
- [4] Ерофеева С. А., Осипьян Ю. А. // Динамика дислокаций. Киев: Наукова думка, 1975. С. 26—30.
- [5] Алексеенко В. И., Мостовой В. М. // Письма в ЖТФ. 1989. Т. 15. № 24. С. 40—44.
- [6] Алексеенко В. И., Зильберман Л. А., Мостовой В. М. и др. // Препринт ДонФТИ АН УССР-88-17 (153). Донецк, 1988. 43 с.
- [7] Рыбин В. В., Орлов А. Н. // ФТТ. 1989. Т. 31. № 11. С. 3251—3258.
- [8] Straumanis M. E., Kim F. // Acta Cryst. 1965. V. 19. P. 256.

- [9] Освенский В. Б., Холодный Л. П., Мильвидский М. Г. // Изв. АН УССР, неорг. материалы. 1972. Т. 8. № 5. С. 802—806.
- [10] Фарбер Б. Я., Бондаренко И. Е., Никитенко В. И. // ФТТ. 1981. Т. 23. № 7. С. 2191—2195.

Донецкий  
физико-технический институт  
АН УССР

Поступило в Редакцию  
4 января 1991 г.  
В окончательной редакции  
9 апреля 1991 г.

---